

Numerische Mechanik I

Flachwassergleichungen

Popov Oleg

Universität Kassel,
FB14 - Bauingenieur- und Umweltingenieurwesen

2. März 2020

- 1 Aufgabestellung
- 2 Die Flachwassergleichungen
- 3 Einschränkungen der Flachwassergleichungen
- 4 Anwendung der Finite-Volumen-Verfahren
- 5 Randbedingungen
- 6 Zeitintegration
- 7 Numerische Ergebnisse

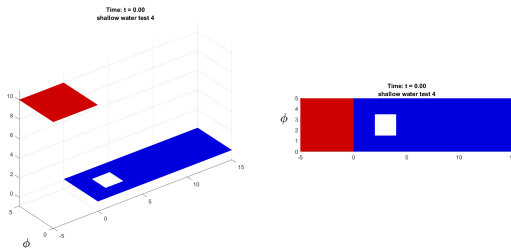
- 1 Aufgabestellung
- 2 Die Flachwassergleichungen
- 3 Einschränkungen der Flachwassergleichungen
- 4 Anwendung der Finite-Volumen-Verfahren
- 5 Randbedingungen
- 6 Zeitintegration
- 7 Numerische Ergebnisse

Ziel:

Eine 2D-Simulation für die Umströmung von Körpern in einem Becken
(z.B. Dammbruch, Deichbruch)

- ohne Regen und
- ohne Wasserverdampfung.

Alle Wände werden als feste Wände betrachtet (Randbedingung).



- 1 Aufgabestellung
- 2 Die Flachwassergleichungen**
- 3 Einschränkungen der Flachwassergleichungen
- 4 Anwendung der Finite-Volumen-Verfahren
- 5 Randbedingungen
- 6 Zeitintegration
- 7 Numerische Ergebnisse

2D-Flachwassergleichungen

2D-Flachwassergleichungen werden in der Numerik [1] in der konservativen Form

$$\partial_t \mathbf{u}(\mathbf{x}, t) + \sum_{j=1}^2 \partial_{x_j} \mathbf{f}_j(\mathbf{u}(\mathbf{x}, t)) = 0 \quad (1)$$

mit

$$\mathbf{u}(\mathbf{x}, t) = \begin{pmatrix} \phi \\ \phi v_1 \\ \phi v_2 \end{pmatrix}, \quad \mathbf{f}_j(\mathbf{u}(\mathbf{x}, t)) = \begin{pmatrix} \phi v_j \\ \phi v_1 v_j + \delta_{1j} \frac{1}{2} \phi^2 \\ \phi v_2 v_j + \delta_{2j} \frac{1}{2} \phi^2 \end{pmatrix}, \quad j = 1, 2$$

dargestellt.

Konservativen Größen

$\mathbf{u}(\mathbf{x}, t) = (\phi, \phi v_1, \phi v_2)^T$ mit

- $\phi = g \cdot H$ ist das Geopotential.
- g ist eine Gravitationskonstante, $g = 9.81 \frac{m}{s^2}$.
- v_1, v_2 sind die Geschwindigkeiten in x -Richtung und y -Richtung.

Geplottet werden die Größen ϕ und $\|\mathbf{v}\|_2$ mit $\mathbf{v} := (v_1, v_2)^T$.

- 1 Aufgabestellung
- 2 Die Flachwassergleichungen
- 3 Einschränkungen der Flachwassergleichungen**
- 4 Anwendung der Finite-Volumen-Verfahren
- 5 Randbedingungen
- 6 Zeitintegration
- 7 Numerische Ergebnisse

Einschränkungen

Bei der Herleitung der Flachwassergleichungen werden folgende Voraussetzungen gemacht:

- 1 Die Dichte ist räumlich und zeitlich konstant, d.h. $\rho(\mathbf{x}, t) = \rho \neq 0$.
- 2 Die Körperkräfte sind durch die Gravitation festgelegt.
- 3 Die horizontalen Längenskalen sind wesentlich größer als die vertikalen. Somit wird die Beschleunigung in x_3 -Richtung vernachlässigt.

Für das betrachtete Modellgebiet bzw. dessen Geometrie wird das Flussbett als undurchlässig vorausgesetzt.

- 1 Aufgabestellung
- 2 Die Flachwassergleichungen
- 3 Einschränkungen der Flachwassergleichungen
- 4 Anwendung der Finite-Volumen-Verfahren**
- 5 Randbedingungen
- 6 Zeitintegration
- 7 Numerische Ergebnisse

Schritt 1: Umschreibung der Gleichungen

Seien die 2D-Flachwassergleichungen Gleichungen als

$$\partial_t \mathbf{u}(\mathbf{x}, t) + \sum_{j=1}^2 \partial_{x_j} \mathbf{f}_j(\mathbf{u}(\mathbf{x}, t)) = 0 \quad (2)$$

gegeben. Als nächstes definieren wir

$$\mathbf{F}(\mathbf{u}(\mathbf{x}, t)) := (\mathbf{f}_1(\mathbf{u}(\mathbf{x}, t)), \mathbf{f}_2(\mathbf{u}(\mathbf{x}, t)))^T$$

und

$$\begin{aligned} \operatorname{div}(\mathbf{F}(\mathbf{u}(\mathbf{x}, t))) &:= (\partial_{x_1}, \partial_{x_2}) \cdot (\mathbf{f}_1(\mathbf{u}(\mathbf{x}, t)), \mathbf{f}_2(\mathbf{u}(\mathbf{x}, t)))^T \\ &= \partial_{x_1} \mathbf{f}_1(\mathbf{u}(\mathbf{x}, t)) + \partial_{x_2} \mathbf{f}_2(\mathbf{u}(\mathbf{x}, t)). \end{aligned} \quad (3)$$

Schritt 1: Umschreibung der Gleichungen

Jetzt können wir mit (3) die Gleichungen (1) kompakter in der Form

$$\partial_t \mathbf{u}(\mathbf{x}, t) + \operatorname{div}(\mathbf{F}(\mathbf{u}(\mathbf{x}, t))) = 0 \quad (4)$$

aufschreiben.

Diskretisierung

Sei Ω unser zu diskretisierendes Gebiet und $\mathcal{T}(\Omega)$ eine Zerlegung von Ω mit

$$\mathcal{T}(\Omega) := \{\Omega_i \subset \Omega, i = 1, \dots, N \mid \Omega = \bigcup_{i=1}^N \Omega_i \text{ und } \Omega_i \cap \Omega_j = \emptyset\}.$$

Das Gebiet Ω kann sowohl in

- Dreiecken
- Vierecken
- krummlinigen Elementen

zerlegt werden [2]. In dieser Arbeit beschränken wir uns auf die Diskretisierung durch nicht-überlappende Dreiecke (Triangulierung).

Schritt 2: Integration über eine Zelle

Wir fordern, dass die Gleichungen (4) für eine beliebige Zelle $\Omega_i \subset \Omega$ gültig ist.

Als nächstes integrieren wir die Gleichungen (4) über Zelle Ω_i und erhalten

$$\int_{\Omega_i} \partial_t \mathbf{u}(\mathbf{x}, t) d\Omega + \int_{\Omega_i} \operatorname{div}(\mathbf{F}(\mathbf{u}(\mathbf{x}, t))) d\Omega = 0. \quad (5)$$

Wenn wir die Gleichungen (5) für alle $\Omega_i \subset \Omega$ aufsummieren, dann erhalten wir

$$\begin{aligned} & \sum_{\Omega_i \subset \Omega}^{\#\mathcal{T}(\Omega)} \left(\int_{\Omega_i} \partial_t \mathbf{u}(\mathbf{x}, t) d\Omega + \int_{\Omega_i} \operatorname{div}(\mathbf{F}(\mathbf{u}(\mathbf{x}, t))) d\Omega \right) = 0 \\ \Leftrightarrow & \sum_{\Omega_i \subset \Omega}^{\#\mathcal{T}(\Omega)} \int_{\Omega_i} \partial_t \mathbf{u}(\mathbf{x}, t) d\Omega + \sum_{\Omega_i \subset \Omega}^{\#\mathcal{T}(\Omega)} \int_{\Omega_i} \operatorname{div}(\mathbf{F}(\mathbf{u}(\mathbf{x}, t))) d\Omega = 0. \end{aligned}$$

Satz: Gaußschen Integralsatzes

Es sei $V \subset \mathbb{R}^n$ eine kompakte Menge mit abschnittsweise glattem Rand $S = \partial V$, der Rand sei orientiert durch ein äußeres Normaleneinheitsvektorfeld \mathbf{n} . Ferner sei das Vektorfeld \mathbf{F} stetig differenzierbar auf einer offenen Menge U mit $V \subseteq U$. Dann gilt

$$\int_V \operatorname{div}(\mathbf{F}) \, d^{(n)}V = \oint_S \mathbf{F} \cdot \mathbf{n} \, d^{(n-1)}S \quad (6)$$

wobei $\mathbf{F} \cdot \mathbf{n}$ das Standardskalarprodukt der beiden Vektoren bezeichnet.

Schritt 3: Anwendung des Gaußschen Integralsatzes

Wir wollen jetzt den Satz (6) auf das zweite Integral der Gleichungen (5) anwenden.

Mit $n = 2$, $\mathbf{F} = \mathbf{F}(\mathbf{u}(\mathbf{x}, t))$, $V = \Omega_i \subset \mathbb{R}^2$, $S = \partial V = \partial\Omega_i$, $\mathbf{n} = (n_1, n_2)^T$ erhalten wir

$$\int_{\Omega_i} \operatorname{div}(\mathbf{F}(\mathbf{u}(\mathbf{x}, t))) d\Omega \stackrel{\text{Satz 6}}{=} \oint_S \mathbf{F}(\mathbf{u}(\mathbf{x}, t)) \cdot \mathbf{n} dS. \quad (7)$$

Schritt 3:

Jetzt setzen wir (7) in Gleichungen (5) und erhalten

$$\begin{aligned} \int_{\Omega_i} \partial_t \mathbf{u}(\mathbf{x}, t) d\Omega + \oint_S \mathbf{F}(\mathbf{u}(\mathbf{x}, t)) \cdot \mathbf{n} dS &= 0 \\ \Leftrightarrow \int_{\Omega_i} \partial_t \mathbf{u}(\mathbf{x}, t) d\Omega &= - \oint_S \mathbf{F}(\mathbf{u}(\mathbf{x}, t)) \cdot \mathbf{n} dS \end{aligned} \quad (8)$$

Für die weitere Umformungen von (8) benötigen wir die Definition des Zellmittelwertes.

Definition (Zellmittelwert)

Sei Ω_i eine Zelle. Wir Definieren als Zellmittelwert $\tilde{\mathbf{u}}(t)$ einer Funktion $\mathbf{u}(\mathbf{x}, t)$ als

$$\tilde{\mathbf{u}}(t) := \frac{1}{|\Omega_i|} \int_{\Omega_i} \mathbf{u}(\mathbf{x}, t) d\Omega, \quad (9)$$

wobei $|\Omega_i|$ für die Fläche der Zelle Ω_i steht.

Schritt 4: Umformungen

- Das Integral wird mit der partiellen Ableitung vertauscht.
- Die Gleichungen werden mit $\frac{1}{|\Omega_i|}$ multipliziert.

Insgesamt erhalten wir daraus:

$$\frac{d}{dt} \int_{\Omega_i} \mathbf{u}(\mathbf{x}, t) d\Omega = - \oint_S \mathbf{F}(\mathbf{u}(\mathbf{x}, t)) \cdot \mathbf{n} dS \quad | \cdot \frac{1}{|\Omega_i|} \quad (10)$$

$$\Leftrightarrow \frac{d}{dt} \underbrace{\frac{1}{|\Omega_i|} \int_{\Omega_i} \mathbf{u}(\mathbf{x}, t) d\Omega}_{\stackrel{\text{Def. 9}}{=} \tilde{\mathbf{u}}(t)} = - \frac{1}{|\Omega_i|} \oint_S \mathbf{F}(\mathbf{u}(\mathbf{x}, t)) \cdot \mathbf{n} dS$$

$$\Leftrightarrow \frac{d}{dt} \tilde{\mathbf{u}}(t) = - \frac{1}{|\Omega_i|} \oint_S \mathbf{F}(\mathbf{u}(\mathbf{x}, t)) \cdot \mathbf{n} dS \quad (11)$$

Definition (Rotationsinvarianz)

Die Differentialgleichung (1) heißt Rotationsinvariant, falls zu jedem Vektor $\mathbf{n} \in \mathbb{R}^2$ mit $\|\mathbf{n}\|_2 = 1$ eine reguläre Matrix $\mathbf{T}(\mathbf{n}) \in \mathbb{R}^{m \times m}$ existiert, derart dass

$$\mathbf{f}_1(\mathbf{u}(\mathbf{x}, t))n_1 + \mathbf{f}_2(\mathbf{u}(\mathbf{x}, t))n_2 = \mathbf{T}(\mathbf{n})^{-1} \cdot \mathbf{f}_1(\mathbf{T}(\mathbf{n}) \cdot \mathbf{u}(\mathbf{x}, t)) \quad (12)$$

gilt.

Rotationsinvarianz

Aus [1] ist bekannt das die zweidimensionalen Flachwassergleichungen rotationsinvariant sind mit der Matrix

$$\mathbf{T}(\mathbf{n}) = \begin{pmatrix} 1 & 0 & 0 \\ 0 & n_1 & n_2 \\ 0 & -n_2 & n_1 \end{pmatrix}. \quad (13)$$

Dabei bezeichnet der auftretende Vektor $\mathbf{n} = (n_1, n_2)^T$ den von der betrachtete Zelle Ω_i nach außen zeigenden Normaleneinheitsvektor.

Schritt 5: Ausnutzung der Rotationsinvarianz

Bei der Anwendung der Rotationsinvarianz auf die Gleichungen (11) erhalten wir

$$\begin{aligned} \frac{d}{dt} \tilde{\mathbf{u}} &= -\frac{1}{|\Omega_i|} \oint_S \mathbf{f}_1(\mathbf{u}(\mathbf{x}, t)) \cdot \mathbf{n}_1 + \mathbf{f}_2(\mathbf{u}(\mathbf{x}, t)) \cdot \mathbf{n}_2 \, dS \\ \stackrel{\text{Def. 12}}{\Leftrightarrow} \frac{d}{dt} \tilde{\mathbf{u}} &= -\frac{1}{|\Omega_i|} \oint_S \mathbf{T}(\mathbf{n})^{-1} \cdot \mathbf{f}_1(\mathbf{T}(\mathbf{n}) \cdot \mathbf{u}(\mathbf{x}, t)) \, dS \end{aligned} \quad (14)$$

unsere räumliche Diskretisierung.

Problem: Das Integral

$$\oint_S \mathbf{T}(\mathbf{n})^{-1} \cdot \mathbf{f}_1(\mathbf{T}(\mathbf{n}) \cdot \mathbf{u}(\mathbf{x}, t)) dS$$

kann am Rand nicht ausgewertet werden, denn

- die Werte am Rand bei $\mathbf{u}(\mathbf{x}, t)$ sind nicht bekannt.
- zwei unterschiedliche Werte am Rand.

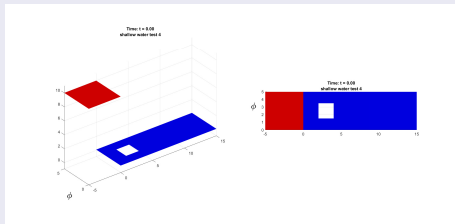


Abbildung: Unstetige Anfangsbedingung. In Seitenansicht (links) und Draufsicht (rechts).

Schritt 6: numerische Flussfunktion

Lösung:

- Approximierung dieses Integrals mit einer numerische Flussfunktion.

Somit bekommen wir eine Approximation am Rand für benachbarte Zellen durch

$$\oint_S \mathbf{T}(\mathbf{n})^{-1} \cdot \mathbf{f}_1(\mathbf{T}(\mathbf{n}) \cdot \mathbf{u}(\mathbf{x}, t)) dS \\ \approx \oint_S \mathbf{T}(\mathbf{n})^{-1} \cdot \mathbf{H}(\mathbf{T}(\mathbf{n}) \cdot \tilde{\mathbf{u}}^+, \mathbf{T}(\mathbf{n}) \cdot \tilde{\mathbf{u}}^-) dS,$$

mit

- $\tilde{\mathbf{u}}^+$ als Zellenmittelwert für aktuelle Zelle
- $\tilde{\mathbf{u}}^-$ als Zellenmittelwert für benachbarte Zelle

HLL-Methode

Harten-Lax-Van-Leer-Methode (Flussfunktion), abgekürzt HLL-Methode.

$$\mathbf{H}^{HLL}(\tilde{\mathbf{u}}^+, \tilde{\mathbf{u}}^-) = \begin{cases} \tilde{\mathbf{u}}^+ & S_l \geq 0 \\ \frac{S_r \mathbf{f}(\tilde{\mathbf{u}}^+) - S_l \mathbf{f}(\tilde{\mathbf{u}}^-) + S_l S_r (\tilde{\mathbf{u}}^- - \tilde{\mathbf{u}}^+)}{S_r - S_l} & S_l \leq 0 \leq S_r \\ \tilde{\mathbf{u}}^- & S_r \leq 0 \end{cases}$$

mit

$$S_l = \min\{\mathbf{v}_j \cdot \mathbf{n} - \sqrt{\phi_j}, \mathbf{v}_i \cdot \mathbf{n} - \sqrt{\phi_i}\},$$
$$S_r = \max\{\mathbf{v}_j \cdot \mathbf{n} - \sqrt{\phi_j}, \mathbf{v}_i \cdot \mathbf{n} - \sqrt{\phi_i}\},$$

für zweidimensionale Flachwassergleichungen.

Dabei gilt $\mathbf{v} = (v_1, v_2)^T$, $\mathbf{n} = (n_1, n_2)^T$ und i steht dabei für die aktuelle Zelle und j für die Nachbarzelle.

Schritt 6: FV-Verfahren mit HLL-Methode

Alles zusammengefasst bekommen wir

$$\frac{d}{dt} \tilde{\mathbf{u}} = - \frac{1}{|\Omega_i|} \oint_S \mathbf{T}(\mathbf{n})^{-1} \cdot \mathbf{H}^{HLL}(\mathbf{T}(\mathbf{n}) \cdot \tilde{\mathbf{u}}^+, \mathbf{T}(\mathbf{n}) \cdot \tilde{\mathbf{u}}^-) dS. \quad (15)$$

Die Gleichungen (15) gelten für beliebige Zellen die sich nicht am Rand des Gebiets befinden.

Schritt 7: Integration

Für alle Dreiecke im Inneren des Gebiets (ohne Randbedingungen) gilt:

$$\frac{d}{dt} \tilde{\mathbf{u}} = -\frac{1}{|\Omega_i|} \sum_{j \in N(i)} |\Gamma_{ij}| \cdot \mathbf{T}(\mathbf{n})^{-1} \cdot \mathbf{H}^{HLL}(\mathbf{T}(\mathbf{n}) \cdot \tilde{\mathbf{u}}^+, \mathbf{T}(\mathbf{n}) \cdot \tilde{\mathbf{u}}^-) \quad (16)$$

mit

$$N(i) = \{j \in \mathbb{N} \mid \partial\Omega_i \cap \partial\Omega_j \neq \emptyset\}.$$

Dabei bezeichnet Ω_i die Dreiecke einer Triangulierung des Gebiets Ω für $i = 1, \dots, N$ und Γ_{ij} für die jeweilige Kante zwischen den Dreiecken Ω_i und Ω_j .

- 1 Aufgabestellung
- 2 Die Flachwassergleichungen
- 3 Einschränkungen der Flachwassergleichungen
- 4 Anwendung der Finite-Volumen-Verfahren
- 5 Randbedingungen**
- 6 Zeitintegration
- 7 Numerische Ergebnisse

Wir wollen davon ausgehen, dass es sich bei allen Rändern um feste Wände handelt, dementsprechend gilt dort $\mathbf{v} \cdot \mathbf{n} = 0$. Dies können wir direkt in

$$\mathbf{f}_1(\mathbf{T}(\mathbf{n}) \cdot \mathbf{u}(\mathbf{x}, t)) = \begin{pmatrix} \phi(\mathbf{v} \cdot \mathbf{n}) \\ \phi(\mathbf{v} \cdot \mathbf{n})^2 + \frac{1}{2}\phi^2 \\ \phi(\mathbf{v} \cdot \mathbf{n})(\mathbf{v} \cdot (-n_2, n_1)^T) \end{pmatrix}$$

einsetzen und erhalten damit

$$\mathbf{f}_1(\mathbf{T}(\mathbf{n}) \cdot \mathbf{u}(\mathbf{x}, t)) = \begin{pmatrix} 0 \\ \frac{1}{2}\phi^2 \\ 0 \end{pmatrix}. \quad (17)$$

Jetzt setzen wir

$$\mathbf{f}_1(\mathbf{T}(\mathbf{n}) \cdot \mathbf{u}(\mathbf{x}, t)) = (0, \frac{1}{2}\phi^2, 0)^T$$

in

$$\frac{d}{dt}\tilde{\mathbf{u}} = -\frac{1}{|\Omega_i|} \oint_S \mathbf{T}(\mathbf{n})^{-1} \cdot \mathbf{f}_1(\mathbf{T}(\mathbf{n}) \cdot \mathbf{u}(\mathbf{x}, t)) dS$$

ein und erhalten

$$\frac{d}{dt}\tilde{\mathbf{u}} = -\frac{1}{|\Omega_i|} \oint_S \mathbf{T}(\mathbf{n})^{-1} \cdot \begin{pmatrix} 0 \\ \frac{1}{2}\phi^2 \\ 0 \end{pmatrix} dS.$$

- 1 Aufgabestellung
- 2 Die Flachwassergleichungen
- 3 Einschränkungen der Flachwassergleichungen
- 4 Anwendung der Finite-Volumen-Verfahren
- 5 Randbedingungen
- 6 Zeitintegration**
- 7 Numerische Ergebnisse

Expliziter Euler-Verfahren

Ein FV-Verfahren mit explizitem Euler-Verfahren hat die Darstellung

$$u_i^{n+1} = u_i^n - \Delta t \cdot \frac{1}{|\Omega_i|} \sum_{j \in N(i)} |\Gamma_{ij}| \cdot \mathbf{T}(\mathbf{n})^{-1} \cdot \mathbf{H}^{HLL}(\mathbf{T}(\mathbf{n}) \cdot \tilde{\mathbf{u}}^+, \mathbf{T}(\mathbf{n}) \cdot \tilde{\mathbf{u}}^-)$$

mit $N(i) = \{j \in \mathbb{N} \mid \partial\Omega_i \cap \partial\Omega_j \neq \emptyset\}$ für alle Dreiecke ohne Randgebietskanten.

Für alle Dreiecke mit Kanten am Rand des Gebiets, erhalten wir

$$u_i^{n+1} = u_i^n - \Delta t \cdot \frac{|\Gamma_{ij}|}{|\Omega_i|} \mathbf{T}(\mathbf{n})^{-1} \cdot \begin{pmatrix} 0 \\ \frac{1}{2}\phi^2 \\ 0 \end{pmatrix}.$$

CFL-Bedingung

Bei explizitem Verfahren im mehrdimensionalen Fall, muss eine verallgemeinerte CFL-Bedingung berücksichtigt werden. Wir wollen die Zeitschrittweite so wählen, dass für jedes Dreieck die Ungleichung

$$\Delta t \leq CFL \cdot \frac{\min_{l=1,2,3} k_l}{\max_{j=1,2,3} |\lambda_j|} \quad (18)$$

mit $CFL \in (0, 1)$ erfüllt ist.

Dabei sind die charakteristischen Ausbreitungsgeschwindigkeiten der Flachwassergleichungen durch

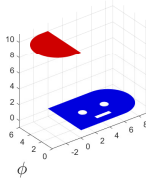
- $\lambda_1 = \mathbf{v} \cdot \mathbf{n} - \sqrt{\phi},$
- $\lambda_2 = \mathbf{v} \cdot \mathbf{n},$
- $\lambda_3 = \mathbf{v} \cdot \mathbf{n} + \sqrt{\phi}$

gegeben und für $l = 1, \dots, 3$ bezeichnet k_l den Abstand des Schwerpunkts, zu einem der Mittelpunkte der jeweiligen Dreiecksseiten.

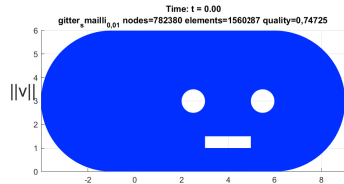
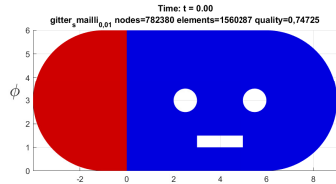
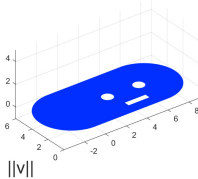
- 1 Aufgabestellung
- 2 Die Flachwassergleichungen
- 3 Einschränkungen der Flachwassergleichungen
- 4 Anwendung der Finite-Volumen-Verfahren
- 5 Randbedingungen
- 6 Zeitintegration
- 7 Numerische Ergebnisse**

Numerische Ergebnisse

Time: t = 0.00
gitter_s_mailli_{0,01} nodes=782380 elements=1560287 quality=0,74725

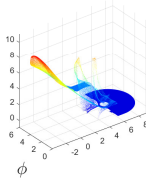


Time: t = 0.00
gitter_s_mailli_{0,01} nodes=782380 elements=1560287 quality=0,74725

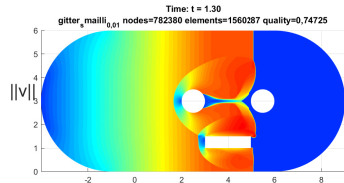
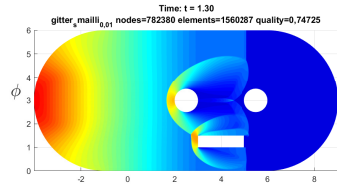
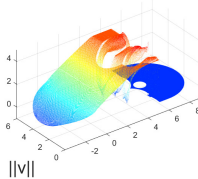


Numerische Ergebnisse

Time: t = 1.30
gitter_s_mailli_{0,01} nodes=782380 elements=1560287 quality=0,74725



Time: t = 1.30
gitter_s_mailli_{0,01} nodes=782380 elements=1560287 quality=0,74725





A. Meister.

Numerik gewöhnliche Differentialgleichungen.

Vorlesungsskript, Universität Kassel, Wintersemester 2015/16.



O. Wünsch.

Numerische Berechnung von Strömungen.

Vorlesungsskript, Universität Kassel, Wintersemester 2018/2019.



S. Ortlebt.

Ein diskontinuierliches Galerkin-Verfahren hoher Ordnung auf Dreiecksgittern mit modaler Filterung zur Lösung hyperbolischer Erhaltungsgleichungen.

2012, kassel university press GmbH, Kassel. ISBN online:
978-3-86219-219-9



P.-O. Persson, G. Strang.

DistMesh - A Simple Mesh Generator in MATLAB.

<http://persson.berkeley.edu/distmesh>



Gaußscher Integralsatz.

https://de.wikipedia.org/wiki/Gaußscher_Integralsatz



D. Kuhl.

Numerische Mechanik I.

Vorlesungsskript, Universität Kassel, Wintersemester 2016/17.